

NORSK INSTITUTT FOR VANNFORSKNING

Brekke

O - 80088

KNARDALSTRAND KLOAKKRENSEANLEGG

Innlagring av avløpsvann i Frierfjorden

Blindern, 18. mars 1981

Saksbehandler: Cand.real. Jarle Molvær

Medarbeider : Siv.ing. Birger Bjerkeng

Instituttsjef: Kjell Baalsrud

NIVA - RAPPORT

Norsk institutt for vannforskning



NIVA

Norges Teknisk-Naturvitenskapelige Forskningsråd

Postadresse:
Postboks 333, Blindern
Oslo 3

Brekke 23 52 80
Gaustadalleen 46 69 60
Kjeller 71 47 59

Rapportnummer:

0 - 80088

Underramme:

Løpenummer:

1267

Begrenset distribusjon:

Rapportens tittel:	Dato:
Knardalstrand kloakkrenseanlegg Innlagring av avløpsvann i Frierfjorden	18.3.1981
Forfatter(e):	Prosjektnummer:
Birger Bjerkeng Jarle Molvær	0 - 80088
	Faggruppe:
	Fjordseksjon
	Geografisk område:
	Telemark
	Antall sider (inkl. bilag):
	28

Oppdragsgiver:	Oppdragsg. ref. (evt. NTNF-nr.):
Porsgrunn ingeniørvesen, Porsgrunn	

Ekstrakt:
For det planlagte utslipp til Frierfjorden av avløpsvann fra Knardalstrand kloakkrenseanlegg er utført beregninger av innlagsdyp og fortynning for utslipp i 30, 35 og 40 m dyp og for en rekke kombinasjoner av utløpsdata. Beregningene viser at en diffusor i 30 m dyp og med en effektiv strålediameter på 0.12 m bør kunne gi en tilfredsstillende innlagring og fortynning av avløpsvannet. Hvis beregningene av selve diffusorarrangementet viser at de anvendte utløpsdata er realistiske, så er det unødvendig med en fase 2 innen dette prosjektet.

4 emneord, norske:
1. Frierfjorden
2. Knardalstrand
3. Avløpsvann
4. Innlagsberegninger

4 emneord, engelske:
1.
2.
3.
4.

  
Prosjektleders sign.: Seksjonsleders sign.: Instituttjefs sign.:

INNHOLDSFORTEGNELSE

Side:

1. INNLEDNING	3
2. BESKRIVELSE AV FRIERFJORDEN SOM RESIPIENT FOR AVLØPSVANN .	4
2.1 Generelt	4
2.2 Vannmasser og vannforurensningsproblemer	6
3. BEREGNING AV AVLØPSVANNETS INNLAGRING OG FORTYNNING	8
3.1 Generelt om innlaging og primærfortynning i resipienter	8
3.2 Datagrunnlag og forutsetninger	9
3.3 Beregninger og resultater	9
4. KONKLUSJONER OG ANBEFALINGER	15
5. LITTERATURHENVISNINGER	16
BILAG 1: Oversikt over tetthetsprofiler	18
BILAG 2: Beregninger av innlagringsdyp og fortynning ved NIVA * JET.MIX	20

FIGURFORTEGNELSE

Fig. 1. Kart over Frierfjorden med Knardalstrand og st. BC1 ..	5
Fig. 2. Generell vertikal inndeling av Frierfjordens vannmasser etter saltholdighet	7
Fig. 3a. Innslagring og midlere fortynning av avløpsvannet i tidsrommet 1974-76 ved utslipp i 30 m dyp beregnet ved NIVA*JET.MIX (utløpshastighet 3.5 m/s, effektiv strålediameter 12 cm) og NIVA*MINI-MIX (vannmengde 0.54 m ³ /s, diffusoromkrets 200 m), ved de tetthetsfordelinger som ble målt ved stasjon BC1 i det angitte tidsrom	13
Fig. 3b. Innslagring og fortynning av avløpsvannet i tidsrommet 1977-80 ved utslipp i 30 m dyp beregnet ved NIVA*JET.MIX (utløpshastighet 3.5 m/s, effektiv strålediameter 12 cm) og NIVA*MINI-MIX (vannmengde 0.54 m ³ /s, diffusoromkrets 200 m), ved de tetthetsfordelinger som ble målt ved stasjon BC1 i det angitte tidsrom	14

1. INNLEDNING

Ut fra hensyn til forurensningssituasjonen i Skienselva og Grenlandsfjordene skal avløpsvannet fra Knardalstrand kloakkrenseanlegg slippes ut på dypt vann i Frierfjorden. Avløpsvannet bør innlagres i vannmassen på en måte som sikrer god fortynning samtidig som man må prøve å unngå at avløpsvannet fanges opp av sjøvannsstrømmen opp gjennom Skienselva for deretter å bli brakt opp mot overflaten. På den annen side bør man unngå innlagring i den mer stillestående vannmassen under Frierfjordens terskel-dyp (23 m). I en tidligere rapport (NIVA 1976) har disse forhold blitt vurdert og man antok at innlagring primært burde skje i 15-25 m dyp.

I brev av 13. august 1980 ble NIVA bedt av Porsgrunn ingeniørvesen, om å utarbeide forslag til undersøkelser i forbindelse med det planlagte utslipp. Programforslaget ble oversendt 21. oktober 1980 (NIVA 1980d) og i brev av 18. desember 1980 anmodet Porsgrunn ingeniørvesen NIVA om å utføre programforslagets fase 1, "Beregninger av innlagringsdyp og fortynning". Foreliggende rapport sammenstiller resultatene av disse beregningene og tar standpunkt til behovet for videre undersøkelser.

2. BESKRIVELSE AV FRIERFJORDEN SOM RESIPIENT FOR AVLØPSVANN

2.1 Generelt

Frierfjorden (Fig. 1) består av et relativt vidt og dypt (maks dyp ca. 98 m) fjordbasseng som i sør smalner av og har forbindelse med de ytre fjordområder gjennom Brevikstrømmen. Overflatearealet innenfor Brevik er ca. 17.5 km^2 .

Innerst inne i fjorden ligger Herrebukta med et største dyp på ca. 58 m. Mellom Herrebukta og selve Frierfjorden ligger et grunt område (25-40 m) som er gjennomskåret av en smal renne med største dyp 53 m.

I den smale Brevikstrømmen ligger terskelen til Frierfjorden. Terskelen har et største dyp på ca. 23 m.

Frierfjorden får det alt vesentlige av sin ferskvannstilførsel fra Skiensselva, i middel ca. $270 \text{ m}^3/\text{s}$. I flomperioder kan Skiensselvas vannføring imidlertid nå opptil $800 \text{ m}^3/\text{s}$ og i tidsrommet juli-august gå ned mot $45-50 \text{ m}^3/\text{s}$. Ved utløpet mot Frierfjorden er Skiensselva ca. 9 m dyp.

Det er utført omfattende resipientundersøkelser i Skiensselva, Frierfjorden og tilliggende fjordområder, spesielt etter 1973. I tidsrommet mars 1974 – februar 1977 utførte NIVA en basisundersøkelse i området (NIVA 1979a). Denne undersøkelsen ble etterfulgt av et overvåkingsprogram som fortsatt pågår i regi av Statens forurensningstilsyn og Fylkesmannen i Telemark. Dessuten må nevnes undersøkelser av Statens Biologiske Stasjon Flødevigen (hydrografiske og fiskeribiologiske undersøkelser), Sentralinstitutt for industriell forskning (miljøgifter i vann og i organismer) og Veterinærmyndighetene (miljøgifter i fisk). For mer fullstendige oversikter henvises til NIVA (1979a), NIVA (1979b), NIVA (1980a,b og c).

I det etterfølgende gjengis kort de forhold som mest angår dette prosjektet. For en omtale av biologiske forhold og miljøgiftproblemer henvises til andre rapporter.

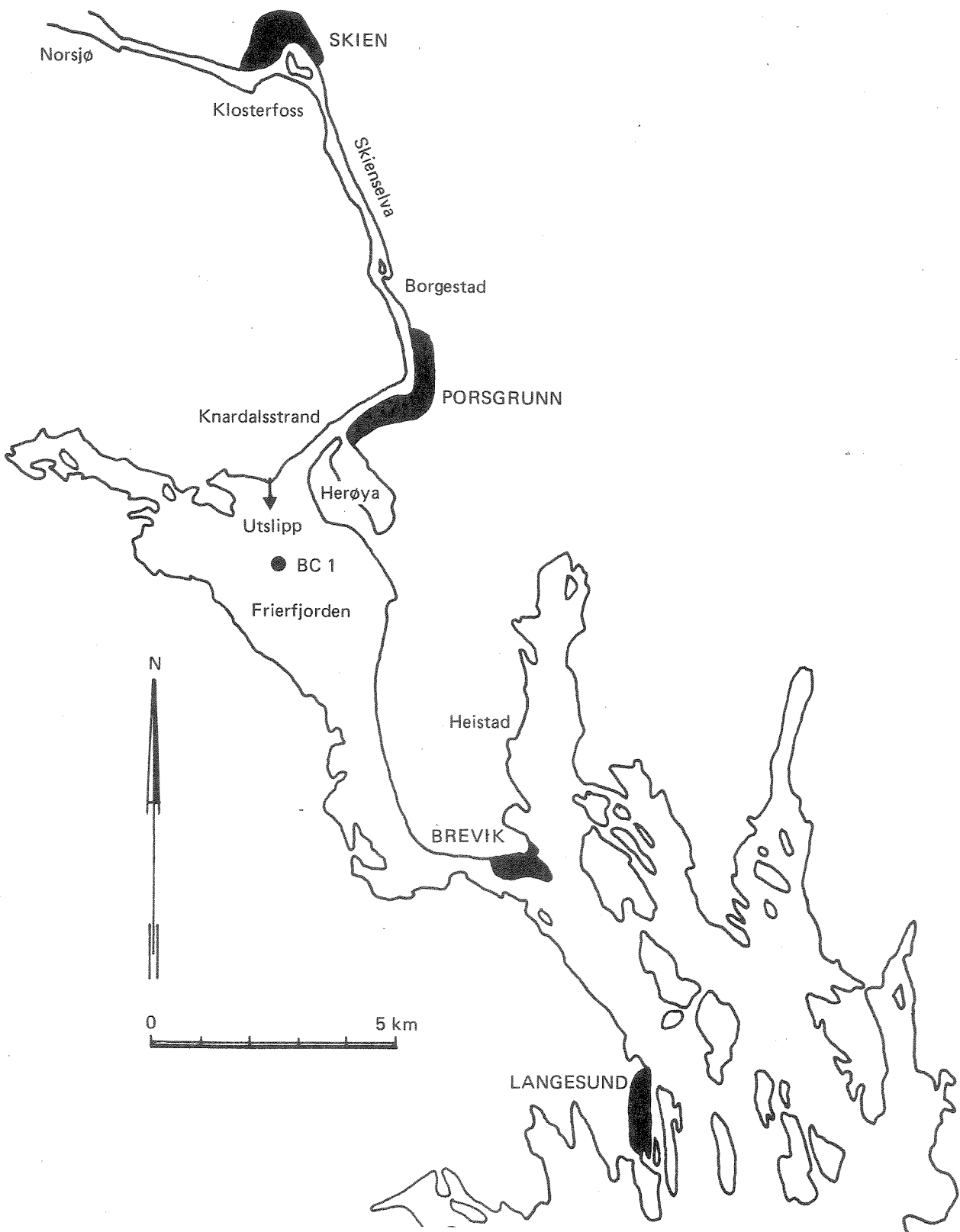


Fig. 1. Kart over Frierfjorden med Knardalstrand og st. BC1.

2.2 Vannmasser og vannforurensningsproblemer

Vannmassene i Frierfjorden kan generelt inndeles i tre lag (Fig. 2), et overflatelag, et intermediært lag som strekker seg ned til terskeldypet eller noe under, og dypvannet. Overgangen fra overflatelag til det intermediære lag er markert av en sterk økning i saltholdigheten, og det omtales oftest som et sprangsjikt.

Tykkelsen av overflatelaget i Frierfjorden varierer mellom ca. 2 og 8 m, avhengig av ferskvannstilførselen og vindforholdene. Saltholdighet varierer innenfor området ca. $0.5\text{--}10^{\circ}/\text{o}$ og temperaturen vanligvis fra ca. 0° til 20°C . Denne brakkvannsmassen strømmer raskt ut gjennom fjordområdene. Overflatelaget er grumsete (høyt partikkellinnhold) med dårlig siktedypt (2-4 m) hele året. Konsentrasjonene av nitrogenforbindelser er meget høye, og fosforkonsentrasjonene er også vanligvis høye. Planteplanktonproduksjonen i overflatelaget har stor betydning for oksygenforbruket i dypvannet. På grunn av brakkvannsstrømmen ut av Frierfjorden har vannkvaliteten i fjordens overflatelag også stor betydning for forurensningssituasjonen i fjordområdene utenfor Brevik.

Det intermediære lag begynner oftest i 8-10 m dyp og når ned til ca. 25-30 m dyp. Ved varierende hydrografiske forhold kan imidlertid nedre grense ligge høyere, rundt 20 m. Vannmassen er vanligvis sterkt sjiktet som følge av at saltholdigheten øker mye mot dypet (økning på inntil $25^{\circ}/\text{o}$ mellom ca. 10 m og 30 m dyp).

Utskiftningen av det intermediære vannlag i Frierfjorden er i hovedsak en resultat av tidevann, den estuarine kompensasjonsstrøm og mer sporadiske innstrømninger av nytt vann over terskelen ved Brevik. Oppholdstiden vil variere mye både over tid og nedover i vannlaget, men er i middel anslått til å være ca. 1 måned (NIVA 1979a). Det er i denne vannmassen avløpsvannet skal innlagres.

Dypvannet i Frierfjorden ligger vanligvis mellom ca. 30 m og bunn. Det skiller seg fra det overliggende intermediære vannlag ved at det oftest er meget homogent hva temperatur og saltholdighet angår, og periodevis er helt stagnant. Saltholdigheten synes å variere innenfor området $33.5\text{--}34.5^{\circ}/\text{o}$, og temperaturen vanligvis mellom ca. $5.5\text{--}6.5^{\circ}\text{C}$. I dette dypvannet opptrer periodevis kritiske oksygenforhold under ca. 40 m dyp. Dypvannet inneholder også store mengder plantenæringsalalter.

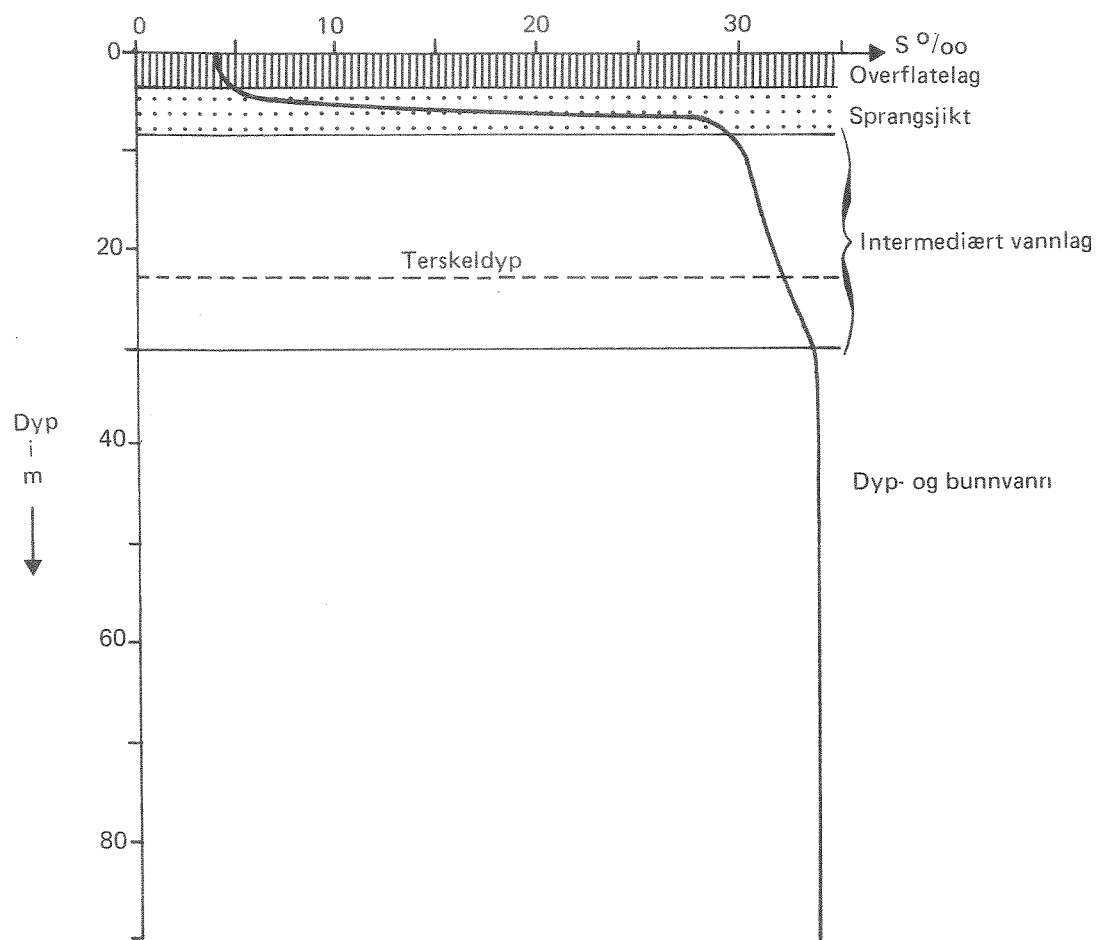


Fig. 2. Generell vertikal inndeling av Frierfjordens vannmasser etter saltholdighetsprofilen.

3. BEREKNING AV INNLAGRING OG FORTYNNING

3.1 Generelt om innlagring og primærfortynning i resipienten

Avløpsvann som slippes ut på 30-40 m dyp vil være noe lettere enn det omkringliggende sjøvann. Det vil derfor stige mot overflaten samtidig med at det blander seg med resipientvann. Avløpsvannet blir da tyngre ettersom det stiger, mens tettheten av det omgivende resipientvann blir mindre, og til slutt nås et nivå hvor det fortynnede avløpsvannet har omtrent samme tetthet som resipientvannet. Rundt dette dypet innlagerer avløpsvannet seg i et sjikt, og sprer seg herfra horisontalt og vertikalt utover i resipienten.

Beregningene av innlagring og fortynning er utført med to EDB-program, NIVA*JET.MIX, utviklet av COMPUTAS og NIVA (1973), og ved et ikke dokumentert program MINI-MIX (Bjerkeng, NIVA, 1979).

JET.MIX-programmet beregner fortynning og innlagringsdyp for en enkelt avløpsvannstråle i en vilkårlig sjiktet resipient, på basis av tetthetsprofiler i resipienten og data om strålen i utløpet.

Dette programmet tar ikke hensyn til spredningsforholdene i resipienten. På grunn av begrensninger i resipientens evne til å transportere innlagret vann vekk fra diffusor-området og samtidig fortynningsvann inn til diffusoren, kan det være at en ikke oppnår så god fortynning som JET.MIX-programmet angir. Innlagringsnivået kan da også komme til å ligge noe høyere enn beregnet.

MINI-MIX-programmet beregner bl.a. høyeste oppnåelige fortynning og innlagringsdyp ut fra utslippsdyp, diffusoromkrets og vannføring til diffusoren ved gitte tetthetsprofiler. Dessuten beregnes beliggenheten og tykkelsen av det innlagrede sjiktet. Programmet tar utgangspunkt i resipientens transportevne, og går ut fra at strålene har mer enn nok blandingsenergi. En nærmere omtale av MINI-MIX er gitt i NIVA (1979c).

I de tilfellene hvor de to programmene gir forskjellige resultater vil JET.MIX kunne være realistisk hvis det er store strømhastigheter i resipienten, mens MINI-MIX er realistisk for en mer stillestående resipient.

Tilsammen gir de to programmene omtrentlige yttergrenser for hva som vil skje.

3.2 Datagrunnlag og forutsetninger

Porsgrunn ingeniørvesen har oppgitt følgende dimensjonerende vannmengder for renseanlegget (82500 pe):

$$\begin{aligned} Q_{\text{dim}} &: 354 \text{ l/s} \\ Q_{\text{max dim}} &: 538 \text{ l/s} \\ Q_{\text{max}} &: 694 \text{ l/s} \end{aligned}$$

Som grunnlag for selve beregningene av innlagring og fortynning er benyttet vertikale tetthetsprofiler fra st. BC1 (se fig. 1) fra tidsrommet mars 1974 - november 1980, dvs. i alt 44 profiler fordelt over ca. 7 år. Man kan med stor sikkerhet si at datamaterialet gir en representativ beskrivelse av tetthetsforholdene i fjorden. Tidspunktene for tetthetsprofilene framgår av Bilag 1.

Beregningene er utført for horisontalt rettede utløpsstråler med varierende diameter, hastighet og utslippsdyp.

Effektiv strålediameter har vært satt til 10 cm, 12 cm, 15 cm og 20 cm. Vannmengdene til diffusoren har vært satt til $0.354 \text{ m}^3/\text{s}$, $0.538 \text{ m}^3/\text{s}$ og $0.694 \text{ m}^3/\text{s}$.

Utløphastighet har vært satt til 2 m/s, 3.5 m/s og 5 m/s.

Utslippsdyp har vært satt til 30, 35 og 40 m.

Diffusor-omkretsen er satt til 200 meter, tilsvarende en diffusor som er 75-100 meter lang.

3.3 Beregninger og resultater

En oversikt over de utførte beregninger innen JET.MIX-programmet er gjevtt i Tabell 1. Fullstendige EDB-utskrifter av beregningene er gjengitt i Bilag 2. I det etterfølgende blir resultatene oppsummert.

Tabell 1. Anvendte kombinasjoner av utslippsdyp, strålehastighet og effektiv strålediameter.

Utslippsdyp	Strålehastighet	Strålediameter cm
30 m	2.0 m/s	12
	3.5 "	10 12 15 20
	5.0 "	12
35 m	2.0 m/s	12
	3.5 "	10 12 15 20
	5.0 "	12
40 m	2.0 "	
	3.5 "	
	5.0 "	12

For det første viste det seg straks at innen området 2-5 m/s hadde strålehastigheten relativt lite å si for bestemmelse av innlagringsdyp og fortynning. Det ville heller ikke være aktuelt å øke hastigheten vesentlig ut over dette fordi resultatet da blir dypere innlagring og lavere fortynning.

For det andre framgikk av resultatene at innlagringsdypet ville variere med 8-12 m, som følge av skiftende tetthetsforhold i Frierfjorden. Sommerhalvåret gav en relativt stabil og den dypeste innlagring, noe som i denne sammenheng er meget fordelaktig. I tilknytning til dypvannsutskiftninger og svak sjiktning vinterstid kan avløpsvannet i korte perioder komme relativt høyt i vannmassen. Forurensningsmessig sett er imidlertid dette av mindre betydning.

Av resultatene framgikk umiddelbart at utsipp på 40 m dyp ville gi innlagring rundt 30 m dyp storparten av tiden, dvs. for dypt i denne sammenheng.

For 35 m utslippsdyp viste det seg at kombinasjonene 2.0 m/s - 12 cm, 3.5 m/s - 10 cm og 12 cm, samt 5.0 m/s - 12 cm for henholdsvis strålehastighet og strålediameter jevnt over gav innlagringsdyp mellom 20 og 30 m, dvs. litt dypere enn ønskelig. Kombinasjonene 3.5 m/s - 15 cm og 3.5 m/s - 20 cm ville gi innlagring litt høyere i vannmassen. Av disse to kombina-

sjoner gav 3.5 m/s - 20 cm innlagring 1-2 m høyere i vannmassen enn den andre, men med 10-15% lavere fortynning.

For 30 m utslippsdyp framgikk de tre kombinasjonene 2.0/3.5/5.0 m/s - 12 cm som noe gunstigere enn de andre. Forskjellene mellom disse tre kombinasjonene var små og avspeiler sannsynligvis hvilken betydning variasjoner i vannmengden inn på renseanlegget vil få for innlagring og fortynning i fjorden. Diffusorstråler med effektiv diameter på ca. 15 cm kan imidlertid også være aktuelt.

Beregninger av fortynning og innlagring ble også utført ved MINI-MIX-programmet. For MINI-MIX-programmet ble benyttet utslippsdyp 30, 35 og 40 m og de tre forannevnte vannmengder. Diffusoromkretsen var 200 meter. Man kan regne med at såvel innlagringsdyp som fortynning stort sett ligger innenfor de to yttergrensene som programmene til sammen gir.

Den beste kombinasjonen synes å være 30 m dyp, og 12 cm effektiv stråle-diameter. Resultatene for en strålehastighet på 3.5 m/s for JET.MIX-programmet og for MINI-MIX-programmet (vannmengde $0.54 \text{ m}^3/\text{s}$) er presentert i fig. 3 og 4. Figurene viser midlere fortynning av avløpsvannet ved innlagring. Denne fortynningen framkommer ved å multiplisere senterfortynningen med faktoren 1.7. -

Av figurene sees at innlagring under disse utslippsbetingelser i sommerhalvåret i det alt vesentlige vil foregå i ca. 18-25 m dyp. Dette må ansees som fordelaktig fra et resipientmessig synspunkt. Fortynningen med sjøvann vil stort sett være fra ca. 35 til 80 ganger.

Ved lavere strålehastighet, m.a.o. lavere vannføring til renseanlegget, vil innlagringen skje litt høyere (ca. 0.5 - 1.5 m) i vannsøylen og med litt bedre fortynning. Det omvendte blir tilfelle ved høyere strålehastighet.

Resultatet skulle også være realistisk ut fra hensynet til den hydrauliske dimensjoneringen av diffusoren. Hvis vi krever at største vannmengde, $0.69 \text{ m}^3/\text{s}$, skal kunne transportere ut gjennom diffusoren med en hastighet 5 m/s og en effektiv strålediameter på 12 cm, vil det kreves ca. 60 hull.

Ifølge Liseth (1977) s. 36, bør forholdet mellom strålenes stigehøyde og hullavstanden være i området 5-10, og med en stigehøyde 10 meter gir det en hullavstand på 1-2 meter, eller en total diffusorlengde på 60-120 meter. Den diffusorlengden som er forutsatt i beregningene foran ligger innenfor dette området. Anbefalt hulldiameter vil være ca. $1.3 \times$ strålediameteren, dvs. ca. 15 cm.

Det bør utføres mer detaljerte beregninger av diffusorarrangementet for å se hvor godt de forutsetninger som er gjort her er realistiske. Disse beregningene skal utføres av et konsulentfirma.

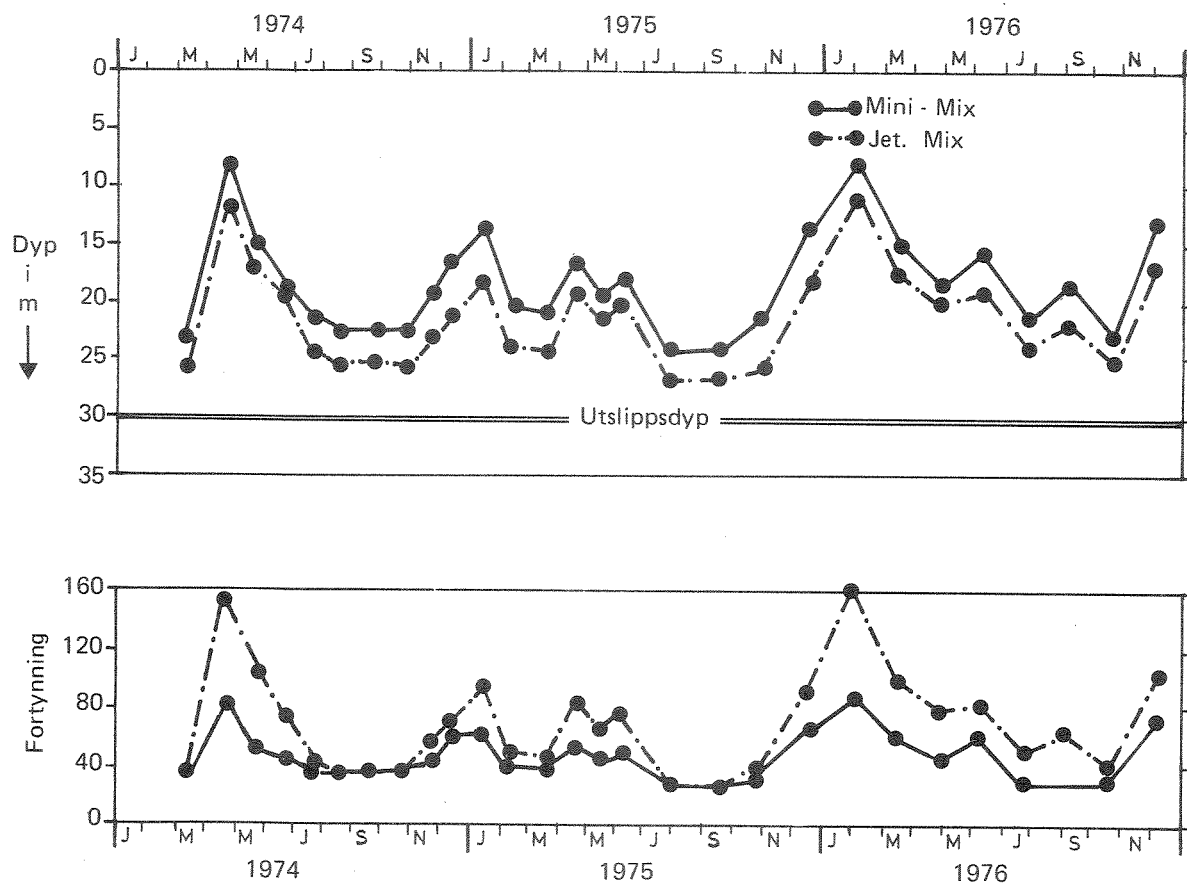


Fig. 3a. Innlagring og midlere førtynning av avløpsvannet i tidsrommet 1974-76 ved utslipp i 30 m dyp beregnet ved NIVA*JET.MIX (utløphastighet 3.5 m/s, effektiv strålediameter 12 cm) og NIVA*MINI-MIX (vannmengde $0.54 \text{ m}^3/\text{s}$, diffusoromkrets 200 m), ved de tetthetsfordelinger som ble målt ved stasjon BC1 i det angitte tidsrom.

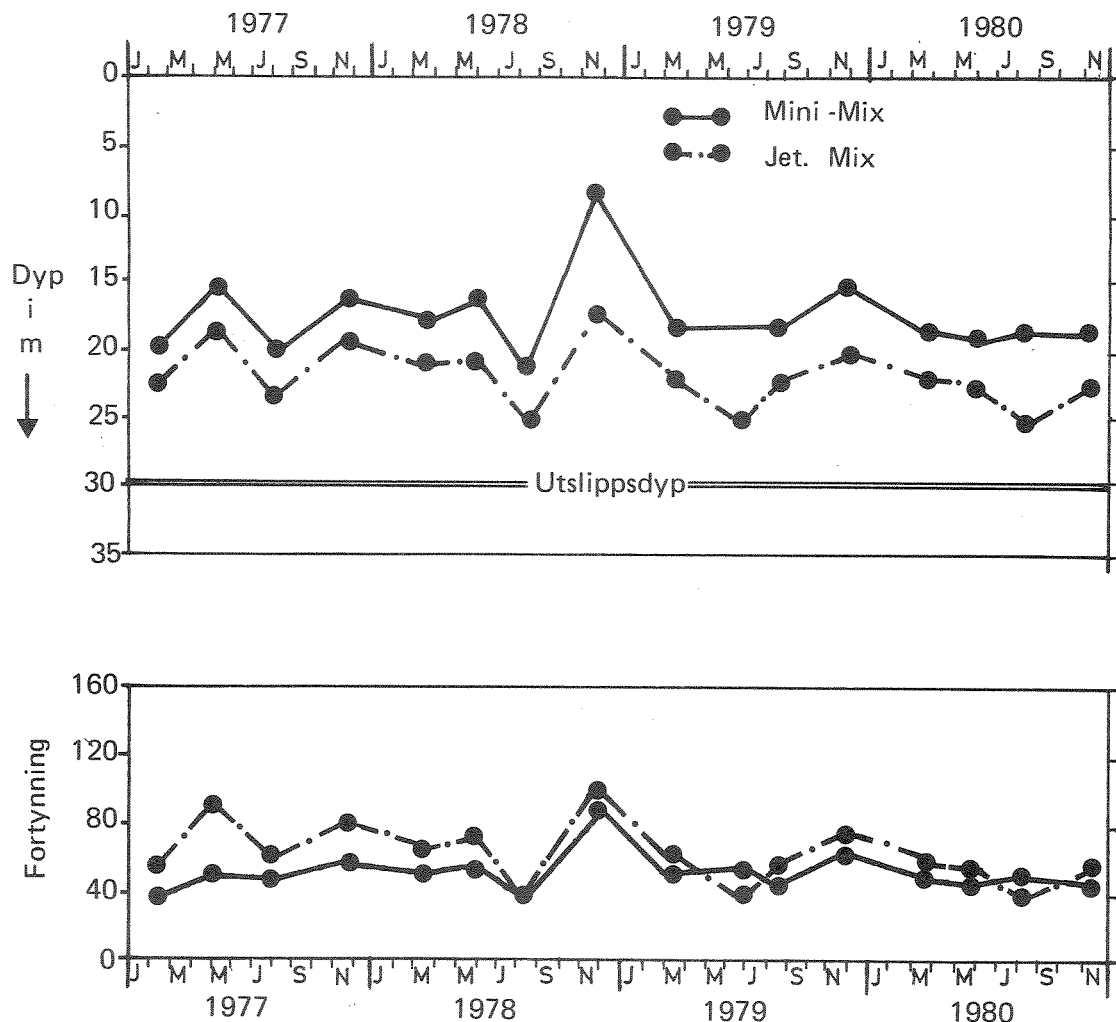


Fig. 3b. Innslagring og fortynning av avløpsvannet i tidsrommet 1977-80 ved utslip i 30 m dyp beregnet ved NIVA*JET.MIX (utløpshastighet 3.5 m/s, effektiv strålediameter 12 cm) og NIVA*MINI-MIX (vannmengde $0.54 \text{ m}^3/\text{s}$, diffusoromkrets 200 m), ved de tethetsfordelinger som ble målt ved stasjon BC1 i det angitte tidsrom.

4. KONKLUSJONER OG ANBEFALINGER

1. Av resipientmessige hensyn er det fordelaktig med en innlagring av avløpsvannet mellom ca. 15 m og 25 m dyp i Frierfjorden. Særlig viktig er dette for sommerhalvåret, dvs. tidsrommet april - september.
2. Det er utført beregninger av innlagringsdyp og fortynning for 44 tetthetsprofiler i Frierfjorden fra tidsrommet 1974-80. Profilene må antas å gi et representativt bilde av både årstidsvariasjoner og forandringer fra år til år. Beregningene er utført for varierende utslippsdyp (30 - 35 - 40 m) og for en rekke kombinasjoner av strålediameter og strålehastighet.

Resultatene viser at et utslippsdyp på 30 m og diffusorhull med en diameter på ca. 15 cm vil kunne gi innlagring i det ønskede dypintervall. Avløpsvannets primærfortynning vil variere mye, men i sommerhalvåret vanligvis være fra ca. 35 til 80 ganger, noe som må ansees som akseptabelt.

3. Det er ikke utført detaljerte beregninger av selve diffusorens utforming (lengde, antall diffusorhull, størrelse av endehull osv.), da dette skal utføres av et konsulentfirma. Utførte overslagsberegninger tyder imidlertid på at en diffusorlengde på ca. 100 m vil passe med forannevnte beregningsresultater.
4. Under forutsetning av at beregningene av selve diffusoren viser at de benyttede utløpsdata er realistiske, skulle det ikke være påkrevet med en fase 2 innen dette prosjektet.

5. LITTERATURHENVISNINGER

COMPUTAS - NIVA 1973:

0-72126/PRA 5.7 Mixing of a jet into a stratified environment.

Saksbehandlere: Birger Bjerkeng og A. Lesjø. 19 sider + appendix.

Liseth, Paul, 1977:

Dykket utslipp i resipient. Utledning og fortynning av avløpsvann,
PRA-delrapport 14. Februar 1977.

NIVA 1976:

0-76050 Resipientmessig vurdering av de kommunale og regionale
avløpsplaner i Grenlandsregionen. Saksbehandler: Jarle Molvær.
34 s. + fig. 31.8.1976.

NIVA 1979a:

0-70111 Resipientundersøkelse av Nedre Skien selva, Frierfjorden
og tilliggende fjordområder. Rapport 8. Sluttrapport.
Saksbehandler: Jarle Molvær. 252 sider. 9.2.1979.

NIVA 1979b:

0-76129 Overvåking av forurensninger i Grenlandsfjordene og
Skien selva. Årsrapport for 1977. Saksbeandler: Brage Rygg.
152 sider. 25.5.1979.

NIVA 1979c:

0-78033 Vurdering av vannutslipp fra kullfyrt kraftverk med sjø-
vannsvasking av røykgasser. 2. Dyputslipp av vaskevann.
Saksbehandlere: Birger Bjerkeng og Jon Knutzen. 70 sider. 9.11.1979.

NIVA 1980a:

0-76129 Overvåking av forurensninger i Grenlandsfjordene og
Skien selva. Sammenfattende årsrapport for 1978.
Saksbeandler: Brage Rygg. 26 sider. 17.7.1980.

NIVA 1980b:

0-76129 Overvåking av forurensninger i Grenlandsfjordene og
Skienselva i 1979. Delrapport nr. 1. Miljøgifter i taskekrabbe,
blåskjell og alger. Forfatter: Brage Rygg. 13 sider. 14.8.1980.

NIVA 1980c:

0-76129 Overvåking av forurensninger i Grenlandsfjordene og
Skienselva i 1979. Delrapport nr. 2. Vannutskiftning og vann-
kvalitet. Forfatter: Jarle Molvær. 24 sider. 18.9.1980.

NIVA 1980d:

0-80088 Forslag til undersøkelse for plassering av dyputslipp
fra Knardalstrand kloakkrenseanlegg. Saksbehandler: Jarle Molvær.
7 sider. 21.10.1980.

BILAG 1

OVERSIKT OVER TETTHETSProfiler

PROFILE	STATION	REHTIME	NO. OF DEPTHS	
1	BC-1	1203	1974	9
2	BC-1	2404	1974	8
3	BC-1	2105	1974	8
4	BC-1	2006	1974	8
5	BC-1	1807	1974	8
6	BC-1	1508	1974	8
7	BC-1	2409	1974	8
8	BC-1	2210	1974	8
9	BC-1	2011	1974	8
10	BC-1	1012	1974	8
11	BC-1	1401	1975	8
12	BC-1	1302	1975	8
13	BC-1	1703	1975	8
14	BC-1	2304	1975	8
15	BC-1	1405	1975	8
16	BC-1	1006	1975	8
17	BC-1	3007	1975	8
18	BC-1	1609	1975	9
19	BC-1	2910	1975	9
20	BC-1	1612	1975	9
21	BC-1	0302	1976	9
22	BC-1	1603	1976	8
23	BC-1	2804	1976	9
24	BC-1	0906	1976	9
25	BC-1	2807	1976	8
26	BC-1	0809	1976	9
27	BC-1	2010	1976	9
28	BC-1	0712	1976	9
29	BC-1	1602	1977	9
30	BC-1	0905	1977	9
31	BC-1	2807	1977	9
32	BC-1	3011	1977	9
33	BC-1	0703	1978	9
34	BC-1	3005	1978	9
35	BC-1	0908	1978	9
36	BC-1	2211	1978	9
37	BC-1	1303	1979	9
38	BC-1	2006	1979	9
39	BC-1	2208	1979	9
40	BC-1	2811	1979	9
41	BC-1	2003	1980	9
42	BC-1	2905	1980	9
43	BC-1	2608	1980	9
44	BC-1	1811	1980	9

BILAG 2

BEREGNINGER AV INNLAGRINGSDYP OG
FORTYNNING VED NIVA*JET.MIX

Som nevnt under kap. 3.2 kunne man uten videre se bort fra utslippsdyp 40 m da dette vanligvis gav innlagring i 25-35 m dyp. I dette bilaget presenteres beregningene av innlagringsdyp og fortynning ved utslippsdyp 30 m og 35 m ved NIVA*JET.MIX-programmet.

Utløpsdata er:

Strålehastighet 2.0, 3.5 og 5.0 m/s

Effektiv strålediameter: 0.10, 0.12, 0.15 og 0.20 m.

Tre beregningsserier er utført:

- A) Utslippsdyp 30 m med varierende strålehastighet og effektiv strålediameter for 20 tetthetsprofiler.
- B) Utslippsdyp 35 m med varierende strålehastighet og effektiv strålediameter for 20 tetthetsprofiler.
- C) Utslippsdyp 30 m, strålehastighet 3.5 m og effektiv strålediameter 0.12 m for 44 profiler.

For hvert beregnet tilfelle er følgende resultater gjengitt:

I innlagringspunktet (Neutral point):

Width = strålebredde

Angle = strålens vinkel på horisontalplanet

Center dilut = senterfortynning i strålen

Depth = dyp

Dyp for høyeste opptrengning (Extremal depths), beregnet på to måter:

EQS.: Beregnet med fortsatt fortynning etter innlagringspunkt.

POT: Ingen friksjon eller blanding etter innlagring

Det virkelig høyeste opptrengningspunkt vil ligge et sted mellom de to verdiene, antakelig nærmest det første.

Tabell A. Beregninger for utslipp i 30 m dyp og 20 tetthetsprofiler ved varierende effektiv strålediameter og utløphastighet.

JET DATA AFTER CONTRACTION					★ PRO-★	RESULTS					
					★ FILE ★	NEUTRAL		POINT		EXTREMAL DEPTHS	
HOLE DEPTH DIAM. VEL. ANGLE					★ NR. ★	WIDTH	ANGLE	CENTER	DEPTH	EQS.	GRAV.
NR.	(M)	(M)	(M/S)	DEG.	★	(M)	DEG.	(M)	(M)	(M)	(M)
1	30.0	.10	3.50	0	★ 1 ★	2.0	54	21	26.6	24.7	21.8
					★ 2 ★	4.9	81	105	12.6	7.7	6.2
					★ 3 ★	3.9	78	71	17.4	14.9	13.4
					★ 4 ★	3.3	73	50	20.7	18.6	16.5
					★ 5 ★	2.3	61	27	25.3	22.8	19.0
					★ 6 ★	2.2	58	24	25.9	23.7	20.3
					★ 7 ★	2.2	58	25	25.8	23.6	20.2
					★ 8 ★	2.2	58	24	26.0	23.8	20.5
					★ 9 ★	2.7	67	35	23.5	20.3	15.5
					★ 10 ★	3.0	70	42	22.2	18.4	12.9
					★ 11 ★	3.7	77	65	18.3	14.4	9.2
					★ 12 ★	2.5	63	30	24.6	21.9	17.8
					★ 13 ★	2.4	62	28	25.0	22.4	18.6
					★ 14 ★	3.5	76	58	19.4	16.3	13.8
					★ 15 ★	3.0	70	42	22.2	19.2	17.3
					★ 16 ★	3.4	73	50	20.6	18.0	15.1
					★ 17 ★	1.9	51	19	27.1	25.5	23.1
					★ 18 ★	1.9	50	19	27.2	25.6	22.9
					★ 19 ★	2.1	56	22	26.3	24.2	19.6
					★ 20 ★	3.6	74	57	10.4	15.0	9.5
2	30.0	.12	3.50	0	★ 1 ★	2.2	54	19	26.2	24.2	21.0
					★ 2 ★	5.2	81	91	11.8	7.4	5.9
					★ 3 ★	4.1	78	62	16.7	14.7	13.1
					★ 4 ★	3.7	73	45	19.8	18.2	16.0
					★ 5 ★	2.5	61	24	24.8	22.2	18.0
					★ 6 ★	2.4	58	22	25.5	23.1	19.4
					★ 7 ★	2.5	58	22	25.4	23.0	19.3
					★ 8 ★	2.4	58	22	25.6	23.2	19.6
					★ 9 ★	3.0	67	32	22.9	19.4	14.1
					★ 10 ★	3.3	70	38	21.4	17.2	11.8
					★ 11 ★	3.9	77	57	17.7	13.5	7.9
					★ 12 ★	2.7	63	27	24.1	21.2	16.8
					★ 13 ★	2.6	62	26	24.5	21.7	17.8
					★ 14 ★	3.7	75	50	19.0	15.6	13.3
					★ 15 ★	3.3	70	38	21.4	18.8	16.9
					★ 16 ★	3.6	73	45	19.9	17.4	14.5
					★ 17 ★	2.1	51	17	26.8	25.1	22.4
					★ 18 ★	2.1	50	17	26.9	25.2	21.9
					★ 19 ★	2.3	56	20	26.0	23.4	17.7
					★ 20 ★	4.0	74	52	18.5	14.0	7.9

Tabell A. forts.

ENTRAINMENT AND DILUTION, MANIFOLD NR. 4							OUTFALL SITE : KNARDA					
							PAGE 2					
JET DATA AFTER CONTRACTION				* PRO *		RESULTS						
HOLE DEPTH	DIAM.	VEL.	ANGLE	* FILE	* NR.	NEUTRAL	POINT	EXTREMAL				
NR.	(M)	(M)	(M/S)	DEG.	*	WIDTH	ANGLE	CENTER	DEPTH			
					*	(M)	DEG.	DILUT.	EQS. GRAV.			
					*			(M)	(M)			
					*				(M)			
3	30.0	.15	3.50	0	*	1	2.5	54	25.8	23.5	19.9	
					*	2	5.5	81	75	10.8	7.0	5.6
					*	3	4.5	77	52	15.9	14.5	12.6
					*	4	3.7	72	37	19.7	17.7	15.0
					*	5	2.8	61	22	24.2	21.2	16.4
					*	6	2.7	58	20	24.9	22.3	18.0
					*	7	2.7	58	20	24.9	22.2	18.0
					*	8	2.7	58	19	25.1	22.5	18.2
					*	9	3.4	67	29	22.0	18.2	12.4
					*	10	3.7	70	34	20.4	15.5	10.5
					*	11	4.3	76	48	16.8	12.4	7.1
					*	12	3.0	63	24	23.5	20.1	15.5
					*	13	2.9	62	23	23.9	20.7	16.6
					*	14	3.9	75	42	18.5	15.1	12.7
					*	15	3.7	70	34	20.4	18.4	16.4
					*	16	3.8	73	37	19.6	16.7	13.6
					*	17	2.3	51	15	26.5	24.5	21.5
					*	18	2.3	50	15	26.6	24.6	20.7
					*	19	2.6	56	18	25.5	22.2	15.3
					*	20	4.4	74	46	17.3	12.5	7.0
4	30.0	.20	3.50	0	*	1	2.9	54	15	25.2	22.5	18.5
					*	2	6.0	80	60	9.4	6.6	5.3
					*	3	4.6	77	39	15.9	14.1	11.8
					*	4	3.9	72	28	19.6	17.1	13.6
					*	5	3.3	61	19	23.4	19.9	14.1
					*	6	3.1	58	17	24.2	21.1	15.8
					*	7	3.2	58	17	24.1	21.0	16.4
					*	8	3.1	58	17	24.3	21.3	15.7
					*	9	3.9	67	25	20.8	16.4	10.5
					*	10	4.4	70	30	18.7	13.8	8.9
					*	11	4.8	76	39	15.8	10.8	6.5
					*	12	3.5	63	21	22.5	18.7	13.5
					*	13	3.4	62	20	22.9	19.4	15.2
					*	14	4.3	74	33	17.8	14.6	11.8
					*	15	4.0	70	28	19.7	17.8	15.2
					*	16	4.0	72	29	10.2	15.7	12.5
					*	17	2.7	51	13	25.9	23.7	20.2
					*	18	2.7	50	13	26.1	23.6	18.4
					*	19	3.0	56	16	24.7	20.2	11.8
					*	20	5.0	74	38	15.7	10.6	6.3

EXTREMAL DEPTHS:- EQS.: MIXING CONTINUED AFTER NEUTRAL POINT

- GRAV.: NO MIXING, ONLY GRAVITY AFTER NEUTRAL POINT

(CONTINUES:)

Tabell A. forts.

JET DATA AFTER CONTRACTION					RESULTS								
HOLE DEPTH		DIAM.		VEL.		ANGLE		FILE	NR.	NEUTRAL	POINT	EXTREMAL DEPTHS	
NR.	(M)	(M)	(M/S)	DEG.				*	*	WIDTH	ANGLE	CENTER	DEPTH
					*	*	*	*	*	DILUT.		EOS.	GRAV.
					*	*	*	*	*	(M)	(M)	(M)	(M)
5	30.0	.12	2.00	0	*	1	*	1.8	68	19	25.8	23.7	20.5
					*	2	*	4.5	85	105	12.3	7.7	6.2
					*	3	*	3.5	83	69	17.0	15.0	13.5
					*	4	*	3.0	80	49	19.9	18.3	16.3
					*	5	*	2.1	72	25	24.4	21.8	17.6
					*	6	*	1.9	70	22	25.0	22.7	18.9
					*	7	*	2.0	70	23	24.9	22.5	18.7
					*	8	*	1.9	70	22	25.1	22.8	19.1
					*	9	*	2.5	76	34	22.5	19.3	14.4
					*	10	*	2.8	78	41	21.2	17.2	12.2
					*	11	*	3.3	82	63	17.9	14.1	8.9
					*	12	*	2.2	74	28	23.7	20.9	16.7
					*	13	*	2.1	73	26	24.1	21.4	17.6
					*	14	*	3.1	81	55	19.1	16.0	13.7
					*	15	*	2.8	78	41	21.2	18.9	17.1
					*	16	*	3.0	80	49	19.8	17.6	14.8
					*	17	*	1.6	65	17	26.4	24.5	21.7
					*	18	*	1.6	64	16	26.5	24.7	20.8
					*	19	*	1.9	69	21	25.4	22.7	16.6
					*	20	*	3.3	81	57	18.5	14.3	8.9
6	30.0	.12	5.00	0	*	1	*	2.7	44	21	26.7	24.7	21.8
					*	2	*	5.8	78	85	11.6	7.3	5.7
					*	3	*	4.7	74	60	16.8	14.7	13.0
					*	4	*	4.1	66	44	20.3	18.2	16.0
					*	5	*	3.0	52	25	25.3	22.7	18.7
					*	6	*	2.8	49	23	25.9	23.6	20.2
					*	7	*	2.9	48	24	25.9	23.6	20.0
					*	8	*	2.8	48	23	26.0	23.8	20.4
					*	9	*	3.5	50	32	23.4	19.9	14.7
					*	10	*	3.8	62	38	21.9	17.6	12.0
					*	11	*	4.5	72	55	17.7	13.3	7.6
					*	12	*	3.2	54	28	24.6	21.7	17.4
					*	13	*	3.1	53	27	25.0	22.2	18.3
					*	14	*	4.2	70	49	19.2	15.7	13.2
					*	15	*	3.8	63	38	21.9	18.9	16.9
					*	16	*	4.2	66	45	20.1	17.5	14.5
					*	17	*	2.5	41	19	27.2	25.6	23.1
					*	18	*	2.5	40	19	27.3	25.7	23.1
					*	19	*	2.7	46	22	26.4	24.2	19.5
					*	20	*	4.5	68	50	18.9	14.0	7.8

Tabell B. Beregninger for utslipp i 35 m dyp og 20 tetthetsprofiler ved varierende effektiv strålediameter og utløphastighet.

JET DATA AFTER CONTRACTION					PRO-		RESULTS					
HOLE DEPTH NR.	DIAM. (M)	VEL. (M/S)	ANGLE DEG.	NR.	TITLE		NEUTRAL	POINT	EXTREMAL DEPTH			
					NR.	WIDTH	ANGLE	CENTER DEPTH	EQS. GRAV.			
NR.	(M)	(M)	(M/S)	DEG.	*	*	(M)	DEG.	(M)			
1	35.0	.10	3.50	0	1	2.5	70	34	28.8	26.4	22.9	
					*	5.7	82	128	14.4	9.4	6.6	
					*	4.6	81	95	19.0	15.3	13.7	
					*	3.5	76	59	24.2	19.8	16.9	
					*	2.7	72	40	27.8	24.8	20.3	
					*	2.6	72	38	28.1	25.4	21.2	
					*	2.4	63	29	29.8	27.5	23.0	
					*	2.6	70	35	28.6	26.1	22.2	
					*	2.8	69	38	28.0	24.7	19.6	
					*	3.1	71	44	26.9	23.1	17.1	
					*	4.3	75	69	22.1	17.7	12.9	
					*	2.8	72	40	27.6	24.5	19.7	
					*	2.7	71	38	28.0	25.0	20.5	
					*	4.1	78	75	21.7	17.7	14.4	
					*	3.3	75	53	25.4	21.4	17.7	
					*	3.5	76	50	24.3	19.8	15.7	
					*	2.4	70	34	28.9	26.7	23.6	
					*	2.4	69	33	29.1	27.0	23.9	
					*	2.5	69	34	28.8	26.4	22.3	
					*	3.5	73	53	25.1	20.3	13.2	
2	35.0	.12	3.50	0	*	1	2.7	69	30	28.5	25.9	22.0
					*	5.9	82	109	13.8	8.2	6.2	
					*	4.8	80	81	18.5	15.0	13.4	
					*	3.8	76	52	23.5	19.2	16.3	
					*	2.9	71	35	27.4	24.2	19.3	
					*	2.8	71	33	27.9	24.9	20.4	
					*	2.6	63	26	29.4	26.9	22.9	
					*	2.8	69	31	28.2	25.4	21.2	
					*	3.1	69	34	27.4	23.8	18.2	
					*	3.4	71	40	26.1	22.0	15.2	
					*	4.8	76	65	20.4	16.5	11.7	
					*	3.0	71	36	27.1	23.7	18.5	
					*	2.9	70	34	27.5	24.3	19.3	
					*	4.5	78	67	20.7	16.9	14.0	
					*	3.5	75	47	24.8	20.4	17.2	
					*	3.9	76	53	23.5	18.0	15.0	
					*	2.6	70	30	28.6	26.2	22.7	
					*	2.6	69	29	28.8	26.5	23.0	
					*	2.7	69	30	28.4	25.8	21.1	
					*	3.0	73	49	23.9	18.7	11.5	

Tabell B. forts.

JET DATA AFTER CONTRACTION					RESULTS							
					FILE		NEUTRAL	POINT	EXTREMAL DEPTHS			
					NR.	WIDTH	ANGLE	CENTER DEPTH				
NR.	(M)	(M)	(M/S)	DEG.	*	*	(M)	DEG.	DILUT.			
					*	*			EOS. (M) GRAV. (M)			
3	35.0	.15	3.50	0	*	1	2.9	68	25	28.2	25.3	21.1
					*	2	6.2	82	90	12.8	7.4	5.8
					*	3	5.1	80	67	17.7	14.7	12.9
					*	4	4.2	75	46	22.4	18.5	15.6
					*	5	3.2	71	30	26.9	23.4	17.0
					*	6	3.0	70	28	27.4	24.1	19.0
					*	7	2.9	63	23	28.9	26.0	21.5
					*	8	3.0	68	26	27.9	24.8	20.0
					*	9	3.4	68	30	26.6	22.5	16.3
					*	10	3.7	71	35	25.1	20.6	13.3
					*	11	5.0	76	56	19.4	15.1	9.5
					*	12	3.3	70	31	26.6	22.8	17.2
					*	13	3.2	69	29	27.0	23.4	18.1
					*	14	4.8	78	57	19.7	16.0	13.3
					*	15	3.9	74	41	23.8	19.3	16.5
					*	16	4.3	75	46	22.3	18.0	14.2
					*	17	2.8	68	25	28.4	25.8	21.9
					*	18	2.8	67	24	28.6	26.1	21.9
					*	19	2.9	68	25	28.1	25.2	19.3
					*	20	4.4	74	45	22.4	16.8	9.3
4	35.0	.20	3.50	0	*	1	3.2	66	21	27.7	24.5	19.6
					*	2	6.7	81	71	11.3	6.9	5.4
					*	3	5.6	79	52	16.6	14.4	12.2
					*	4	4.9	75	39	20.8	17.8	14.7
					*	5	3.6	60	24	26.1	22.1	15.6
					*	6	3.4	69	23	26.8	23.1	17.2
					*	7	3.3	62	19	28.2	24.8	19.6
					*	8	3.4	67	22	27.2	23.7	18.2
					*	9	3.9	68	26	25.3	20.7	13.7
					*	10	4.3	71	30	23.7	18.3	11.0
					*	11	5.4	76	45	18.5	13.4	7.3
					*	12	3.7	69	25	25.7	21.4	15.2
					*	13	3.6	69	24	26.2	22.1	16.5
					*	14	5.1	77	44	19.1	15.1	12.3
					*	15	4.5	73	34	22.5	18.6	15.8
					*	16	4.9	75	39	20.6	16.9	13.4
					*	17	3.1	67	20	28.0	25.1	20.6
					*	18	3.1	66	19	28.2	25.3	20.1
					*	19	3.3	67	21	27.5	24.0	16.2
					*	20	5.1	74	40	20.3	14.2	7.2

Tabell B. forts.

JET DATA AFTER CONTRACTION					RESULTS							
HOLE NR.	DEPTH (M)	DIAM. (M)	VEL. (M/S)	ANGLE DEG.	FILE NR.	NEUTRAL		POINT		EXTREMAL DEPTHS		
						WIDTH (M)	ANGLE DEG.	DILUT. (M)	CENTER DEPTH (M)	EQS. (M)	GRAV. (M)	
5	35.0	.12	2.00	0	1	2.1	77	31	28.4	26.0	22.3	
					2	5.2	85	129	14.2	9.3	6.6	
					3	4.2	84	93	18.8	15.4	13.7	
					4	3.2	81	57	23.8	19.5	16.8	
					5	2.3	78	36	27.4	24.5	20.0	
					6	2.2	78	34	27.8	25.1	20.9	
					7	2.1	73	27	29.0	26.6	22.8	
					8	2.2	77	32	28.1	25.5	21.5	
					9	2.6	77	37	27.0	23.8	18.6	
					10	2.8	79	43	25.9	22.2	15.9	
					11	4.1	82	75	20.5	16.9	12.5	
					12	2.4	78	37	27.2	24.1	19.2	
					13	2.4	78	35	27.5	24.5	19.9	
					14	3.8	83	75	21.1	17.5	14.4	
					15	2.9	81	50	24.0	21.0	17.6	
					16	3.2	81	58	23.7	19.3	15.6	
					17	2.0	77	29	28.7	26.5	23.2	
					18	2.0	77	29	28.7	26.6	23.2	
					19	2.2	77	31	28.3	25.9	21.4	
					20	3.3	80	55	23.9	19.2	12.4	
6	35.0	.12	5.00	0	1	3.2	62	31	28.7	26.1	22.3	
					2	6.5	79	100	13.7	7.8	6.0	
					3	5.4	77	77	18.4	15.0	13.1	
					4	4.4	71	51	23.6	19.0	16.1	
					5	3.4	66	36	27.5	24.2	19.3	
					6	3.3	65	34	27.9	24.0	20.3	
					7	3.2	54	27	29.8	27.3	23.5	
					8	3.2	62	32	28.5	25.7	21.4	
					9	3.6	61	34	27.8	24.1	18.4	
					10	3.9	64	39	26.6	22.3	15.5	
					11	5.3	69	60	21.2	16.7	11.6	
					12	3.5	65	36	27.4	23.9	18.7	
					13	3.4	64	35	27.8	24.5	19.5	
					14	5.1	74	65	20.7	16.7	13.8	
					15	4.1	60	46	24.9	20.2	17.0	
					16	4.4	71	52	23.6	18.8	14.8	
					17	3.1	63	31	28.8	26.4	22.9	
					18	3.1	62	30	29.0	26.7	23.2	
					19	3.2	62	31	28.7	26.0	21.4	
					20	4.4	67	47	24.5	19.0	11.5	

Tabell C. Beregninger for utløp i 30 m dyp for 44 tetthetsprofiler,
effektiv strålediameter 0.12 m og utløpshastighet 3.5 m/s.

PRO-	JET DATA AFTER CONTRACTION					RESULTS						
	FILE	NR.	HOLE DEPTH	DIAM.	VEL.	ANGLE	WIDTH	ANGLE	CENTER	DEPTH	EOS.	GRAV.
*												
*	*	*	*	*	*	*	*	*	*	*	*	*
*	*	*	*	*	*	*	*	*	*	*	*	*
1	*	1	30.0	.12	3.50	0	2.2	54	19	26.2	24.2	21.0
2	*	1	30.0	.12	3.50	0	5.2	81	91	11.8	7.4	5.9
3	*	1	30.0	.12	3.50	0	4.1	78	62	16.7	14.7	13.1
4	*	1	30.0	.12	3.50	0	3.7	73	45	19.8	18.2	16.0
5	*	1	30.0	.12	3.50	0	2.5	61	24	24.8	22.2	18.0
6	*	1	30.0	.12	3.50	0	2.4	58	22	25.5	23.1	19.4
7	*	1	30.0	.12	3.50	0	2.5	58	22	25.4	23.0	19.3
8	*	1	30.0	.12	3.50	0	2.4	58	22	25.6	23.2	19.6
9	*	1	30.0	.12	3.50	0	3.0	67	32	22.9	19.4	14.1
10	*	1	30.0	.12	3.50	0	3.3	70	38	21.4	17.2	11.8
11	*	1	30.0	.12	3.50	0	3.9	77	57	17.7	13.5	7.9
12	*	1	30.0	.12	3.50	0	2.7	63	27	24.1	21.2	16.8
13	*	1	30.0	.12	3.50	0	2.6	62	26	24.5	21.7	17.8
14	*	1	30.0	.12	3.50	0	3.7	75	50	19.0	15.6	13.3
15	*	1	30.0	.12	3.50	0	3.3	70	38	21.4	18.8	16.9
16	*	1	30.0	.12	3.50	0	3.6	73	45	19.9	17.4	14.5
17	*	1	30.0	.12	3.50	0	2.1	51	17	26.8	25.1	22.4
18	*	1	30.0	.12	3.50	0	2.1	50	17	26.9	25.2	21.9
19	*	1	30.0	.12	3.50	0	2.3	56	20	26.0	23.4	17.7
20	*	1	30.0	.12	3.50	0	4.0	74	52	18.5	14.0	7.9
21	*	1	30.0	.12	3.50	0	5.5	81	94	11.1	7.1	5.5
22	*	1	30.0	.12	3.50	0	4.0	77	57	17.6	14.1	10.5
23	*	1	30.0	.12	3.50	0	3.5	74	46	19.9	17.7	14.7
24	*	1	30.0	.12	3.50	0	3.7	75	40	19.2	15.2	11.6
25	*	1	30.0	.12	3.50	0	2.6	68	29	23.8	21.4	17.8
26	*	1	30.0	.12	3.50	0	3.2	69	36	21.9	18.5	14.3
27	*	1	30.0	.12	3.50	0	2.5	59	23	25.2	23.2	20.6
28	*	1	30.0	.12	3.50	0	4.3	76	60	16.8	12.5	7.7
29	*	1	30.0	.12	3.50	0	2.9	60	32	22.9	19.8	15.8
30	*	1	30.0	.12	3.50	0	3.7	77	53	18.5	15.1	11.2
31	*	1	30.0	.12	3.50	0	2.8	64	29	23.8	20.7	16.2
32	*	1	30.0	.12	3.50	0	3.0	72	47	19.3	16.2	10.8
33	*	1	30.0	.12	3.50	0	3.5	68	39	21.1	17.8	14.4
34	*	1	30.0	.12	3.50	0	3.4	73	42	20.7	16.7	13.7
35	*	1	30.0	.12	3.50	0	2.4	58	22	25.5	30.0	18.5
36	*	1	30.0	.12	3.50	0	4.4	74	57	17.2	8.4	4.9
37	*	1	30.0	.12	3.50	0	3.3	65	34	22.2	18.5	14.7
38	*	1	30.0	.12	3.50	0	2.4	58	22	25.4	21.9	14.3
39	*	1	30.0	.12	3.50	0	3.1	66	32	22.9	19.4	14.0
40	*	1	30.0	.12	3.50	0	3.7	70	43	20.3	15.8	8.0
41	*	1	30.0	.12	3.50	0	3.1	66	33	22.6	18.9	14.6
42	*	1	30.0	.12	3.50	0	2.9	65	30	23.3	19.9	15.9
43	*	1	30.0	.12	3.50	0	2.4	57	22	25.5	21.9	14.9
44	*	1	30.0	.12	3.50	0	3.0	66	31	23.1	19.7	12.6

EXTREMAL DEPTHS :- EOS. :- MIXING CONTINUED AFTER NEUTRAL POINT
 - GRAV. :- NO MIXING, ONLY GRAVITY AFTER NEUTRAL POINT